

Starkniederschlagshöhen und -spenden gemäß KOSTRA-DWD-2010R

Auswertungszeitraum von 1951 - 2010, Januar - Dezember

Rasterfeld: 88031

Zeile: 88

Spalte: 31

Seite: 1/2

| Dauerstufe D | Wiederkehrzeit T | | | | | | | | | | | | | | | | | | |
|--------------|------------------|------|------------|------|------------|------|------------|------|------------|------|------------|-------|------------|-------|------------|-------|------------|-------|------------|
| | 1 a | | 2 a | | 3 a | | 5 a | | 10 a | | 20 a | | 30 a | | 50 a | | 100 a | | |
| min | Std | mm | l / (s ha) | mm | l / (s ha) | mm | l / (s ha) | mm | l / (s ha) | mm | l / (s ha) | mm | l / (s ha) | mm | l / (s ha) | mm | l / (s ha) | mm | l / (s ha) |
| 5 | | 6,0 | 200,0 | 8,2 | 273,3 | 9,5 | 316,7 | 11,2 | 373,3 | 13,5 | 450,0 | 15,8 | 526,7 | 17,1 | 570,0 | 18,8 | 626,7 | 21,0 | 700,0 |
| 10 | | 9,4 | 156,7 | 12,3 | 205,0 | 14,1 | 235,0 | 16,3 | 271,7 | 19,2 | 320,0 | 22,2 | 370,0 | 23,9 | 398,3 | 26,1 | 435,0 | 29,1 | 485,0 |
| 15 | | 11,6 | 128,9 | 15,1 | 167,8 | 17,1 | 190,0 | 19,7 | 218,9 | 23,2 | 257,8 | 26,6 | 295,6 | 28,7 | 318,9 | 31,2 | 346,7 | 34,7 | 385,6 |
| 20 | | 13,2 | 110,0 | 17,0 | 141,7 | 19,3 | 160,8 | 22,2 | 185,0 | 26,1 | 217,5 | 30,0 | 250,0 | 32,2 | 268,3 | 35,1 | 292,5 | 39,0 | 325,0 |
| 30 | | 15,2 | 84,4 | 19,8 | 110,0 | 22,4 | 124,4 | 25,8 | 143,3 | 30,3 | 168,3 | 34,9 | 193,9 | 37,5 | 208,3 | 40,9 | 227,2 | 45,4 | 252,2 |
| 45 | | 17,0 | 63,0 | 22,3 | 82,6 | 25,4 | 94,1 | 29,3 | 108,5 | 34,7 | 128,5 | 40,0 | 148,1 | 43,1 | 159,6 | 47,0 | 174,1 | 52,4 | 194,1 |
| 60 | | 18,0 | 50,0 | 24,0 | 66,7 | 27,4 | 76,1 | 31,8 | 88,3 | 37,8 | 105,0 | 43,8 | 121,7 | 47,2 | 131,1 | 51,6 | 143,3 | 57,6 | 160,0 |
| 90 | | 20,0 | 37,0 | 26,2 | 48,5 | 29,8 | 55,2 | 34,3 | 63,5 | 40,4 | 74,8 | 46,5 | 86,1 | 50,1 | 92,8 | 54,6 | 101,1 | 60,7 | 112,4 |
| 120 | 2 | 21,6 | 30,0 | 27,9 | 38,7 | 31,5 | 43,8 | 36,1 | 50,1 | 42,4 | 58,9 | 48,6 | 67,5 | 52,3 | 72,6 | 56,9 | 79,0 | 63,1 | 87,6 |
| 180 | 3 | 24,1 | 22,3 | 30,5 | 28,2 | 34,3 | 31,8 | 39,0 | 36,1 | 45,4 | 42,0 | 51,8 | 48,0 | 55,5 | 51,4 | 60,3 | 55,8 | 66,7 | 61,8 |
| 240 | 4 | 26,0 | 18,1 | 32,6 | 22,6 | 36,4 | 25,3 | 41,2 | 28,6 | 47,7 | 33,1 | 54,2 | 37,6 | 58,1 | 40,3 | 62,9 | 43,7 | 69,4 | 48,2 |
| 360 | 6 | 29,0 | 13,4 | 35,7 | 16,5 | 39,6 | 18,3 | 44,6 | 20,6 | 51,3 | 23,8 | 58,0 | 26,9 | 61,9 | 28,7 | 66,8 | 30,9 | 73,5 | 34,0 |
| 540 | 9 | 32,3 | 10,0 | 39,2 | 12,1 | 43,2 | 13,3 | 48,3 | 14,9 | 55,2 | 17,0 | 62,0 | 19,1 | 66,1 | 20,4 | 71,1 | 21,9 | 78,0 | 24,1 |
| 720 | 12 | 34,8 | 8,1 | 41,9 | 9,7 | 46,0 | 10,6 | 51,1 | 11,8 | 58,2 | 13,5 | 65,2 | 15,1 | 69,3 | 16,0 | 74,5 | 17,2 | 81,5 | 18,9 |
| 1080 | 18 | 38,8 | 6,0 | 46,0 | 7,1 | 50,2 | 7,7 | 55,6 | 8,6 | 62,8 | 9,7 | 70,0 | 10,8 | 74,2 | 11,5 | 79,5 | 12,3 | 86,7 | 13,4 |
| 1440 | 24 | 41,9 | 4,8 | 49,2 | 5,7 | 53,5 | 6,2 | 59,0 | 6,8 | 66,3 | 7,7 | 73,6 | 8,5 | 77,9 | 9,0 | 83,4 | 9,7 | 90,7 | 10,5 |
| 2880 | 48 | 55,8 | 3,2 | 64,8 | 3,7 | 70,0 | 4,1 | 76,6 | 4,4 | 85,5 | 4,9 | 94,5 | 5,5 | 99,7 | 5,8 | 106,3 | 6,2 | 115,2 | 6,7 |
| 4320 | 72 | 66,0 | 2,5 | 75,9 | 2,9 | 81,6 | 3,1 | 88,9 | 3,4 | 98,8 | 3,8 | 108,7 | 4,2 | 114,4 | 4,4 | 121,7 | 4,7 | 131,6 | 5,1 |

Angaben in mm: Bemessungsniederschlagswerte h(n)

Angaben in l / (s ha): Regenspende R(n) mit $R(n) = h(n) \times 1,666667 / D[\text{min}]$

Toleranzbereiche:

+/- 10 % für $1 \text{ a} \leq T \leq 5 \text{ a}$

+/- 15 % für $5 \text{ a} < T \leq 50 \text{ a}$

+/- 20 % für $50 \text{ a} < T \leq 100 \text{ a}$

Datenbasis: KOSTRA-DWD-2010R des Deutschen Wetterdienstes. Die Regenspende wurde auf Basis des Bemessungsniederschlags zur jeweiligen Andauer berechnet.

Für die Richtigkeit und Aktualität der Angaben wird keine Gewähr übernommen. Erstellt 07/2022.

Starkniederschlagshöhen und -spenden gemäß KOSTRA-DWD-2010R

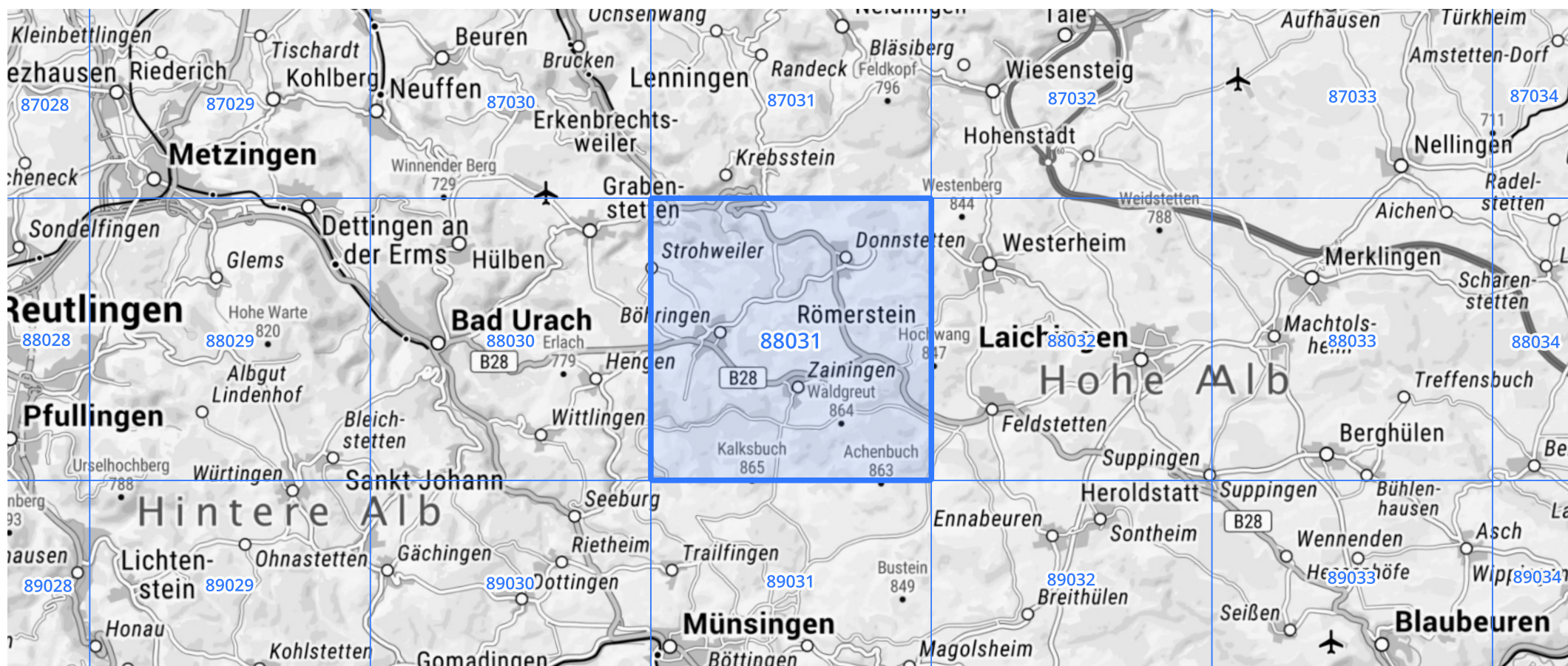
Auswertungszeitraum von 1951 - 2010, Januar - Dezember

Rasterfeld: 88031

Zeile: 88

Spalte: 31

Seite: 2/2



Quelle Rasterdaten: KOSTRA-DWD-2010R des Deutschen Wetterdienstes.

Kartendarstellung: © Bundesamt für Kartographie und Geodäsie (2022), Datenquellen: https://sgx.geodatenzentrum.de/web_public/gdz/datenquellen/Datenquellen_TopPlusOpen.html

Für die Richtigkeit und Aktualität der Angaben wird keine Gewähr übernommen. Erstellt 07/2022.